

وارون‌سازی مشترک داده‌های گرانی‌سنجد و مقاومت ویژه الکتریکی در ارزیابی ساختار سنگ کف آبخوان‌ها (مطالعه موردی: بخشی از دشت قطروم در ایران)

عبدالحمید انصاری^{۱*}، علی پاسیار^۲ و احمد قربانی^۳

^۱ دانشیار، دانشکده مهندسی معدن و متالورژی، دانشگاه یزد، یزد، ایران

^۲ دانشجوی دکتری، دانشکده مهندسی معدن و متالورژی، دانشگاه یزد، یزد، ایران

^۳ دانشیار، دانشکده مهندسی معدن و متالورژی، دانشگاه یزد، یزد، ایران

(دریافت: ۱۳۹۹/۰۱/۲۱، پذیرش: ۱۳۹۹/۰۱/۰۳)

چکیده

شناخت سنگ کف آبخوان‌ها از لحاظ جنس، عمق و ساختار هندسی در مدیریت منابع آبی اهمیت زیادی دارد و مورد توجه کارشناسان و مدیران این حوزه است. از سال‌های دور تاکنون از روش‌های ژئوفیزیکی مختلفی برای این منظور استفاده شده است. استفاده از این روش‌ها به تنهایی ابهاماتی دارد؛ به کاربردن چند روش مختلف ژئوفیزیکی بهصورت ترکیبی می‌تواند از خطاها احتمالی در تفسیر داده‌ها بکاهد. در این پژوهش، با استفاده از حل مسائل نامعین، یک قالب برای وارون‌سازی مشترک داده‌های مقاومت ویژه الکتریکی و گرانی‌سنجد طبق روابط تجربی موجود ارائه می‌شود. بر اساس فیزیک مسئله و حل معادلات در دستگاه معادلات مشتقات جزئی، مدل‌سازی پیشرو و وارون‌سازی هریک از روش‌ها به همراه وارون‌سازی مشترک آنها در نرم‌افزار کامسول اجرا شد. همچنین برای کاهش زمان محاسبه ماتریس حساسیت که بیشترین زمان را در مسائل وارون‌صرف می‌کند، از توابع کمکی برای حل این ماتریس استفاده شد. ابتدا مدل‌سازی روی یک مدل مصنوعی آبخوان و سپس روی داده‌های گرانی‌سنجد و مقاومت ویژه واقعی اجرا شد که در بخشی از دشت قطروم واقع در جنوب شهر یزد، در طول یک مقطع برداشت شده بودند. نتایج این تحقیق نشان داد وارون‌سازی مشترک داده‌های مقاومت ویژه الکتریکی و گرانی‌سنجد به مراتب دقیق‌تر از تفسیر یگانه هریک از این روش‌ها است. همچنین علاوه بر انعطاف‌پذیری و سرعت پردازش زیاد در محاسبه ماتریس حساسیت نسبت به روش‌های وارون‌سازی معمولی، این روش می‌تواند در محدوده وسیعی از داده‌های ژئوفیزیکی یا هیدروگئولوژیکی استفاده شود.

واژه‌های کلیدی: وارون‌سازی مشترک، مقاومت ویژه الکتریکی، گرانی‌سنجد، کامسول، سنگ کف، قطروم

EUL برای تفسیر داده‌های مغناطیسی معرفی کردند که تلفیقی از روش سیگنال تحلیلی و واهما میخت اویلر است. استفاده از روش‌های ژئوفیزیکی برای شناسایی هندسه ساختارهای زیرسطحی محدودیت‌هایی دارد. برای کاهش این محدودیت‌ها و ابهامات موجود در حل مسائل ژئوفیزیکی، ترکیب چند روش با یکدیگر، دقت و اعتبار نتایج را افزایش می‌دهد. وارون‌سازی مشترک یکی از روش‌هایی است که با دقت زیادی، فصل مشترک و توزیع پارامترهای مختلف را تخمین می‌زند. در مواقعي که وجود نویه در یک روش زیاد باشد، استفاده از روش مکمل برای استخراج سیگنال‌های واقعی با وضوح خوب بسیار مؤثر خواهد بود.

هر دو روش مقاومت ویژه الکتریکی و گرانی، به هدایت الکتریکی و میزان تخلخل اولیه یا ثانویه حساس هستند؛ بنابراین میزان تخلخل و درجه اشباع شدگی واحدهای زمین‌شناسی می‌تواند در تغییرات گرانی و مقاومت ویژه تأثیر بگذارد. این موضوع را مک‌کالو (۱۹۶۷) اثبات کرد. سانتوز و همکاران (۲۰۰۶) الگوریتم تبرید شبیه‌سازی شده را برای وارون‌سازی مشترک داده‌های مقاومت ویژه و گرانی در A یک بعد \equiv پیشنهاد دادند. هدف از آن مطالعه، شناسایی فصل مشترک مقاومت ویژه/چگالی و توزیع داده‌های مقاومت ویژه الکتریکی در بررسی هندسه سنگی کف آبخوان بود. این الگوریتم با داده‌های مصنوعی، آزمایش و بخش شمال غربی سینا در کشور مصر برای اجرای این الگوریتم وارون‌سازی مشترک انتخاب شد. ۱۳۱ ایستگاه گرانی به همراه ۳۹ ایستگاه سوندایز الکتریکی برای آن هدف برداشته شده بود.

در این پژوهش، وارون‌سازی مشترک روش‌های گرانی‌سنگی و مقاومت ویژه الکتریکی در A دو بعد \equiv و با استفاده از نرم‌افزار کامسول انجام خواهد شد. در ابتدا مبانی نظری، فیزیک مسئله و معادلات مربوط به آن در

۱ مقدمه

یکی از کاربردهای علم ژئوفیزیک، حل مسائلی همچون پیدا کردن منابع زیرزمینی یا ابهامات موجود در زیر سطح زمین و سایر کاربردهای مهندسی و ... است؛ از این رو یافتن روشهای که بتوان به کمک آن شکل هندسی یا توزیع فضایی متغیرها را در این منابع زیرزمینی شناسایی کرد، از اهمیت فراوانی برخوردار است. در بررسی آبخوان‌ها از لحاظ دانه‌بندی رسوبات آبرفتی و عمق سنگ کف مطالعات بسیاری انجام شده است. علاوه بر روش‌های مقاومت ویژه الکتریکی مثل ژئوالکتریک، الکترومغناطیس و مگنتوتولوریک که بیشترین کاربرد را در این زمینه دارند، روش‌هایی مثل گرانی‌سنگی، لرزه‌نگاری، تشدید مغناطیسی هسته و ... نیز در بررسی آبخوان‌ها کاربرد دارند.

وارون‌سازی یکی از روش‌هایی است که با ایجاد یک مدل منطقی به ما در درک واقعیت پدیده‌های فیزیکی کمک می‌کند. یکی از اهداف اصلی وارون‌سازی داده‌های ژئوفیزیکی، تخمین پارامترهایی مثل عمق، ضربی دامنه، موقعیت و شکل بی‌هنجاری‌های به دست آمده از برداشت‌های ژئوفیزیکی است. از گذشته تاکنون روش‌های بی‌شماری برای تفسیر داده‌های ژئوفیزیکی توسعه یافته‌اند که می‌توان به روش‌های گرافیکی (تلتون، ۱۹۶۲ و ۱۹۷۶)، روش نسبت (بوین و همکاران، ۱۹۸۶ و عبدالرحمن و همکاران، ۱۹۸۹)، انتقال فوریه (اوکارد و برگ، ۱۹۶۵ و شrama و گلدارت، ۱۹۶۸)، واهما میخت اویلر (تامپسون، ۱۹۸۲)، شبکه عصی (الاوادی و همکاران، ۲۰۰۱)، انتقال ملین (موهان و همکاران، ۱۹۸۶)، روش کمینه‌سازی حداقل مربعات (گوپتا، ۱۹۸۳ و لاین و تریتل، ۱۹۸۴)، واهما میخت ورنر (هارتمن و همکاران، ۱۹۷۱ و کیلتی، ۱۹۸۳) و انتقال والش (شاو و آگاروال، ۱۹۹۰) اشاره کرد. سالم و همکاران (۲۰۰۳) روش خودکار جدیدی را به نام AN-

جایگزینی $G = \rho_c \epsilon = 1/4\pi U = V$ ، به سادگی یک مدل انرژی پتانسیل گرانشی در نرم افزار کامسول تولید می شود (باتلر و سینهای، ۲۰۱۲).

۲-۱-۲ مدل سازی پیشرو مقاومت ویژه الکتریکی
اساس روش های مقاومت ویژه الکتریکی، اندازه گیری پتانسیل زمین در نتیجه القای یک جریان الکتریکی درون زمین است. در اندازه گیری مقاومت ویژه ظاهری، از یک جفت الکترود A و B و یک جفت پتانسیل M و N استفاده می شود. مقاومت ویژه ظاهری در یک زمین همگن با رابطه (۳) محاسبه می شود:

$$\rho = K \frac{\Delta V}{I}, \quad (3)$$

که ΔV اختلاف پتانسیل اندازه گیری شده، I جریان القای در زمین و K ضریب هندسی است که به آرایش الکترودی وابسته است.

در بخش Electrical current نرم افزار کامسول رابطه (۴) را می توان حل کرد:

$$\nabla \cdot c \nabla V = 0, \quad (4)$$

که c هدایت الکتریکی زمین یا همان عکس مقاومت ویژه الکتریکی است. چگالی جریان الکتریکی (J) با واحد A/m^۳ برابر است با:

$$J = -c \nabla V, \quad (5)$$

از آنجاکه هدف، مدل سازی روش مقاومت ویژه الکتریکی در محیط دو بعدی است، مفهوم منع جریان نقطه ای در محیط دو بعدی، همان منع جریان خطی در محیط سه بعدی است؛ بنابراین برای اینکه بتوان در محیط دو بعدی از منع جریان نقطه ای بهره برد، با استفاده از یک تبدیل فوریه ساده می توان بعد سوم (y) را حذف کرد. اگر φ(x,y,z) پتانسیل الکتریکی در محیط سه بعدی ناشی از

مدل سازی پیشرو و وارون سازی ارائه می شود و با ساخت یک مدل مصنوعی و اجرای معادلات در نرم افزار کامسول، وارون سازی مشترک روش های گرانی و مقاومت ویژه انجام می شود. پس از تفسیر و اعتبار سنجی مدل مصنوعی، این روش برای داده های ژئوفیزیکی واقعی برداشت شده در بخشی از دشت قطروم واقع در جنوب شرق شهر یزد در قالب یک مقطع، اجرا و نتایج آن با چاه موجود در منطقه مقایسه می شود. همچنین با انتساب دادن داده های محاسبه شده و مشاهداتی، نتایج مقایسه می شوند.

۲ مبانی نظری روش

۲-۱ مدل سازی پیشرو

۲-۱-۱ مدل سازی پیشرو گرانی سنجی

تفاوت در توزیع چگالی مواد در زیر سطح زمین باعث تفاوت در مقدار شتاب جاذبه در مؤلفه قائم زمین می شود. این مؤلفه را می توان در سطح زمین اندازه گیری کرد. در نرم افزار کامسول، بخشی درباره گرانی و معادلات آن وجود ندارد، ولی از آنجاکه مسائل گرانی سنجی و الکترواستاتیک از معادله پواسون مشتق می شوند، یک مدل گرانی را می توان با تغییر در ثابت دی الکتریک در بخش الکترواستاتیک نرم افزار کامسول ایجاد کرد. معادله پواسون پتانسیل گرانشی (U) بر حسب J/Kg با رابطه زیر تعریف می شود (تلغورد، ۱۹۹۰):

$$\nabla^2 U = -4\pi G \rho, \quad (1)$$

که G ثابت جهانی گرانش با مقدار $6.67 \times 10^{-11} \text{ Jm/Kg}^2$ و ρ چگالی توده سنگ بر حسب Kg/m³ است. معادله پواسون در الکترواستاتیک برای پتانسیل الکتریکی (V) بر حسب ولت برابر است با (جکسون، ۱۹۹۸):

$$\nabla^2 V = \frac{-\rho_c}{\epsilon}, \quad (2)$$

که ρ_c چگالی بار و ε ثابت دی الکتریک است. با

$$V = \frac{I\rho}{2\pi} \left(\frac{1}{|x-x_1|} - \frac{1}{|x-x_2|} \right), \quad (9)$$

که ρ مقاومت ویژه الکتریکی بر حسب اهم-متر و x فاصله از منابع جریان الکتریکی x_1 و x_2 بر حسب متر است. برای مقایسه حل عددی این روش با حل تحلیلی آن، در محل دو الکترود با فاصله ۲۰ متر از یکدیگر و با منع جریان خطی در محیط دوربعدی نرم افزار کامسول، جریانی با شدت ۱ آمپر در محیط همگنی با مقاومت ویژه الکتریکی ۱۰ اهم-متر تزریق شد. شرط مرزی نیومن برای سطح زمین، شرط مرزی دریچلت برای سایر مرزها و شرط مرزی بینهایت در همه مرزها برای کاهش حجم محاسبات درنظر گرفته شد. شکل ۱ مقادیر پتانسیل الکتریکی با حل عددی معادله جریان الکتریکی را بدون انتقال فوریه (خط ممتد سیاهرنگ) و با انتقال فوریه (خط نقطه چین سیاهرنگ) در مقایسه با حل تحلیلی آن (خط ممتد قرمز رنگ) نشان می‌دهد.

یک جریان الکتریکی با منبع نقطه‌ای باشد، با انتقال کسینوسی فوریه، مقدار پتانسیل الکتریکی $\tilde{\phi}$ با منبع جریان نقطه‌ای در محیط دوربعدی به صورت زیر محاسبه می‌شود (کمنا، ۲۰۰۰):

$$\tilde{\phi}(x, k, z) = 2 \int_0^{\infty} \phi(x, y, z) \cos(ky) dy, \quad (6)$$

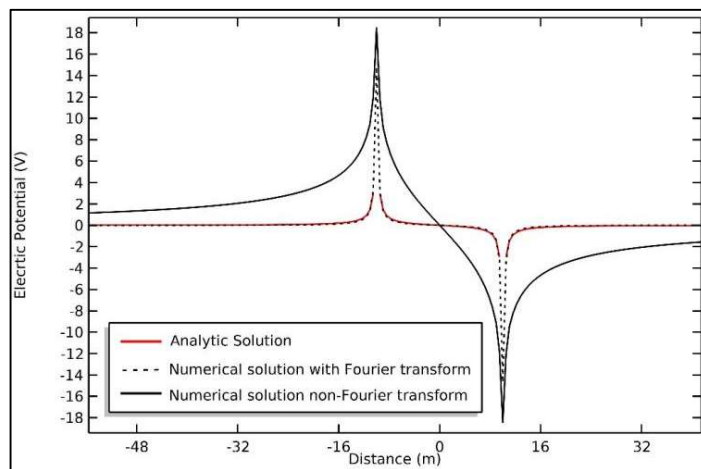
که k عدد موج در انتقال فوریه است. برای حل این معادله از معادله هلmholtz (Helmholtz) با فرمول زیر کمک گرفته می‌شود (کمنا، ۲۰۰۰):

$$\nabla \cdot (-c \nabla \tilde{\phi}) + \beta \tilde{\phi} = 0, \quad (7)$$

که c هدایت الکتریکی و β متغیری ترکیبی است که با نوع شرایط مرزی در مدل تعریف می‌شود. در نهایت، مقدار پتانسیل الکتریکی واقعی را می‌توان با رابطه (۸) محاسبه کرد (کمنا، ۲۰۰۰):

$$\phi(x, k, z) = \frac{1}{\pi} \int_0^{\infty} \tilde{\phi}(x, k, z) \cos(ky) dk, \quad (8)$$

حل تحلیلی محاسبه پتانسیل الکتریکی در یک منع جریان نقطه‌ای عبارت است از (تلفورد، ۱۹۹۰):



شکل ۱. مقایسه حل عددی معادله جریان الکتریکی با حل تحلیلی آن برای منابع نقطه‌ای و خطی (در این مثال شرط مرزی نیومن برای سطح و شرط دریچلت برای سایر مرزها درنظر گرفته شد).

(۱۳)

$$Q = E \left[(s - X \beta)(s - X \beta)^T \right],$$

X ماتریس n بعدی واحد و β ثابت اسکالر و میانگینی از پارامترهای ساختاری و آماری پردازش است. ماتریس مققارن Q را یا باید تخمین زد یا از اطلاعات قبلی به دست آورد. عناصر ماتریس کواریانس فقط تابعی از فاصله بین نقاط متناظر در فضا ($|X_i - X_j| = q(|X_i - X_j|)$) هستند که این وابستگی با واریوگرام زیر بیان می شود و می تواند با تعداد کمی پارامتر بر داده ها برآش شود (کاردیف و کیتانیدیس، ۲۰۰۸):

$$\gamma(X_i - X_j) = q(0) - q(|X_i - X_j|), \quad (14)$$

بنابراین برای شرط ناسازگاری، عناصر ماتریس کواریانس Q با استفاده از واریوگرافی داده های ورودی و تعیین شاخص های فضایی زمین آماری داده ها به آسانی محاسبه می شوند. به جای ماتریس Q^{-1} که سنگین است و زمان زیادی در محاسبات صرف می کند، شرط ناسازگاری به دو بخش مجزا تقسیم می شود:

$$L_{\text{Penalty}} = (s - X \beta)^T u, \quad (15)$$

$$u = Q^{-1}(s - X \beta),$$

طول بردار کمکی u مشابه طول بردار s است؛ بنابراین حل معادله خطی $Qu = s - X\beta$ برای مقدار u بسیار ساده و سریع تر خواهد بود (کاردیف و کیتانیدیس، ۲۰۰۸). این ابزار قدرتمند A ضریب شکل در نرم افزار کامسول، بدون از دست رفتن دقت نتایج، زمان محاسبه ماتریس حساسیت H را در حل مسائل وارون نامعین کاهش می دهد. برای حل معادلات و بهینه سازی پارامترهای ناشناخته، روش حل مسئله غیرخطی کمترین مربعات با استفاده از الگوریتم لونبرگ- مارکوارت به کار گرفته شد.

۲-۲ مدل سازی وارون

لبرای وارون سازی هدایت هیدرولیکی در یک آبخوان فرضی در نرم افزار کامسول از روش کاردیف و کیتانیدیس (۲۰۰۸) استفاده شده است که روشی برای وارون سازی و حل مسائل نامعین در دستگاه معادلات مشتقات جزئی (PDE) است. این روش می تواند در محدوده وسیعی از روش های مختلف مثل ژئوفیزیک، هیدرولوژی و ... استفاده شود.

تابع هدف در حل مسائل وارون نامعین که در آن تعداد پارامترها بسیار بیشتر از تعداد مشاهدات است، می تواند به صورت مجموع شرط سازگاری و ناسازگاری نوشته شود (کاردیف و کیتانیدیس، ۲۰۰۸):

$$L(y, s) = L_{\text{fitness}}(y, s) + L_{\text{Penalty}}(S), \quad (10)$$

$L_{\text{fitness}}(y, s) = (y - h(s))^T R^{-1} (y - h(s)), \quad (11)$
که y بردار ردیفی m بعدی از مقادیر اندازه گیری شده، s بردار ردیفی n بعدی از مقادیر پارامترها و $h: R_m \rightarrow R_m$ مدل پیش رو است که مقادیر پارامتر را اندازه گیری می کند.
 R ماتریس کواریانس m در m از خطاهای اندازه گیری است. با فرض اینکه خطاهای اندازه گیری، به صورت مستقل و یکسان و با واریانس σ_R^2 توزیع می شوند،
ماتریس $R = \sigma_R^2 I$ محاسبه می شود که I ماتریس واحد m در m است. شرط ناسازگاری (penalty term) برای مسائلی استفاده می شود که تعداد پارامترها (n) بسیار بیشتر از تعداد اندازه گیری ها (m) باشد. با استفاده از استدلال زمین آماری و فرضیه مرسوم در علوم زمین، که در آن توزیع فضایی پارامترها از یک توزیع زمین آماری و واریوگرام های تجربی تعیت می کنند (کیتانیدیس، ۱۹۹۵)، شرط ناسازگاری با رابطه زیر محاسبه می شود (کاردیف و کیتانیدیس، ۲۰۰۸):

$$L_{\text{Penalty}} = (s - X \beta)^T Q^{-1} (s - X \beta), \quad (12)$$

که Q^{-1} ماتریس کواریانس فضایی n در n بعدی Q است:

۳-۲ مدل سازی وارون مشترک

وزن مخصوص ظاهری توده سنگ ارتباط مستقیمی با

$$\sigma_e = (1-\varphi) \sigma_m + \left[a \rho_w / (\rho_e \varphi^{m-n}) \right]^{\frac{1}{n}} \sigma_w, \quad (19)$$

رابطه (۱۹) نشان می‌دهد امکان تطابق چند ترکیب مقاومت از تخلخل، مقاومت ویژه آب و توده سنگ و همچنین چگالی ماتریس سنگ وجود دارد. در بسیاری از حالت‌ها $n=m$ است (سانتوز و همکاران، ۲۰۰۶) و رابطه (۲۰) به صورت زیر می‌شود:

$$\sigma_e = (1-\varphi) \sigma_m + \left[a \rho_w / \rho_e \right]^{\frac{1}{n}} \sigma_w, \quad (20)$$

برای انتخاب پارامترهای مناسب و ضرایب تجربی در روابط (۱۷) تا (۲۰) می‌توان به پژوهش پاسیار و انصاری (۱۳۹۶) مراجعه کرد که درباره محاسبه ضرایب هیدرودینامیکی آبخوان دشت پیرانشهر است. اگر روابط (۱۹) یا (۲۰)،تابع هدف در نرمافزار کامسول باشند، مقادیر مقاومت ویژه و چگالی در زنجیره‌ای بین تابع هدف و مدل‌سازی پیشرو برای هر دو روش بهینه می‌شوند و مدل نهایی به صورت مقادیری از مقاومت ویژه و چگالی بهینه شده با کمترین درصد خطا بین داده‌های ورودی و نتایج محاسبه شده، در پیکسل‌هایی دلخواه از محیط بهینه خواهد شد.

۳ ساخت مدل مصنوعی

برای اعتبارسنجی روش مورد استفاده، یک برش عرضی از آبخوان مصنوعی ساخته شد (شکل ۲). عمق سنگ کف در این آبخوان مصنوعی از ۵۰ تا ۱۵۰ متر متغیر است. اختلاف چگالی بین رسوبات آبرفتی و سنگ کف ۱۰۰ کیلوگرم بر متر مکعب، مقاومت ویژه الکتریکی رسوبات آبرفتی ۵۰ اهم-متر و مقاومت ویژه سنگ کف ۵۰۰ اهم-متر فرض شد. این مدل در محدوده‌هایی با مرزهای نامحدود (infinite domain) محصور شده است. تا از حجم محاسبات عددی عنصر محدود کاسته شود. همچنین همه محاسبات مدل‌سازی وارون در محدوده قرمزنگ مشخص شده در شکل ۲ انجام می‌شود. در ابتدا

تخلخل و آب منفذی در رسوبات و واحدهای زمین‌شناسی دارد؛ بنابراین می‌توان نتیجه گرفت تغییرات در وزن مخصوص توده سنگ می‌تواند با مقاومت ویژه الکتریکی مرتبط باشد (سانتوز و همکاران، ۲۰۰۶). در بررسی‌های هیدرورژئولوژیکی، برخی عوامل نقش مهمی در تغییر چگالی حجمی ایفا می‌کنند. این عوامل به جنس واحدهای زمین‌شناسی با درصد تخلخل متفاوت، ضخامت منطقه اشباع، تراکم شکستگی‌ها در سازنهای سخت و درجه اشباع شدگی بستگی دارند. چگالی حجمی σ_b از رابطه زیر به دست می‌آید (مک‌کالو، ۱۹۶۷):

$$\sigma_b = \sigma_g + \varphi (\sigma_f \times S - \sigma_g), \quad (16)$$

که σ_g چگالی ذرات و کانی‌ها، φ تخلخل، σ_f چگالی سیال و S درصد اشباع شدگی است؛ بنابراین روش گرانی به سادگی می‌تواند لیتلولژی‌های مختلف مثل سنگ‌های سخت و متراکم را از سنگ‌های تحکیم‌نیافته مثل رسوبات آبرفتی متمایز سازد (آلوارز، ۱۹۹۱ و مارین-لچادو و همکاران، ۲۰۰۶).

چگالی ظاهری σ_e و تخلخل φ در محیط متخلخل با رابطه (۱۷) بیان می‌شود (سانتوز و همکاران، ۲۰۰۶):

$$\sigma_e = (1-\varphi) \sigma_m + S_w \varphi \sigma_w, \quad (17)$$

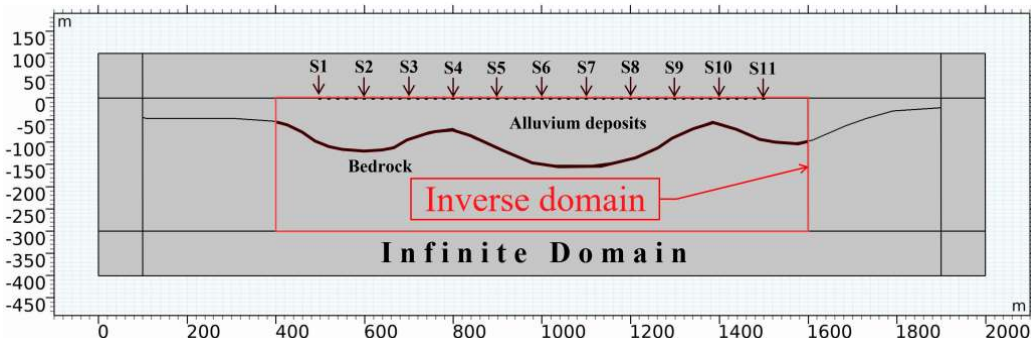
که σ_m چگالی ماتریس سنگ، σ_w چگالی آب منفذی و S_w میزان اشباع شدگی از آب منفذی است. ارتباط بین چگالی و مقاومت ویژه الکتریکی در یک سازند زمین-شناسی با قانون آرجی به دست می‌آید. قانون آرجی در روش‌های DC یا فرکانس پایین، با فرض اینکه برای همه آبخوان‌ها قابل استفاده باشد، با رابطه زیر بیان می‌شود (گرنت و وست، ۱۹۶۵):

$$\rho_e = a \rho_w S_w^{-n} \varphi^{-m}, \quad (18)$$

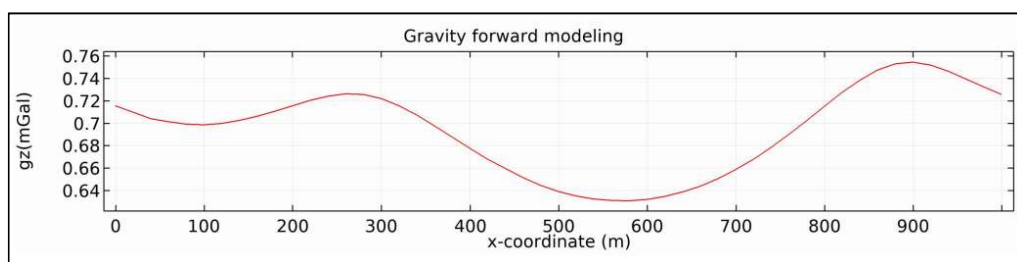
که a و n ضرایب تجربی، ρ_w و ρ_e به ترتیب مقاومت ویژه آب و توده سنگ هستند. از ترکیب روابط (۱۷) و (۱۸)، چگالی به دست می‌آید:

ونر-شلومبرژر و بیشینه خط جریان ۸۰۰ متر برداشت شد. نمودار مقادیر گرانی سنگی و نمودار سوندآژهای برداشت شده در طول این مقطع به ترتیب در شکل های ۳ و ۴ نشان داده شده است.

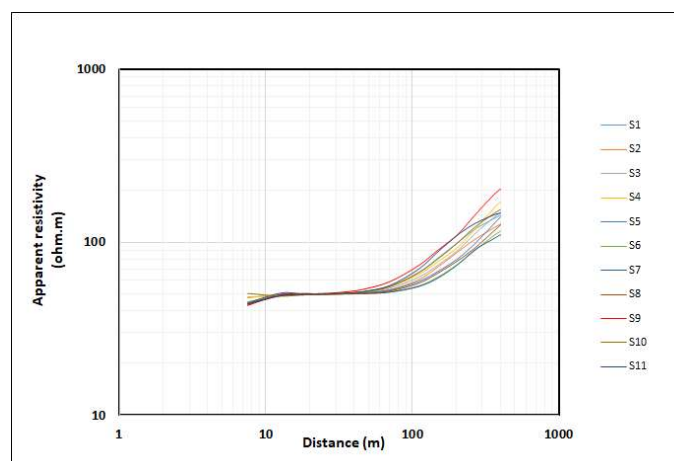
مدل سازی پیشرو گرانی سنگی و مقاومت ویژه الکتریکی انجام شد. داده های گرانی سنگی با فواصل ایستگاهی ۲۰ متر و داده های مقاومت ویژه الکتریکی با برداشت یازده سوندآژ الکتریکی به فواصل ۱۰۰ متر از یکدیگر با آرایه



شکل ۲. مدل ساخته شده از مقطع عرضی یک آبخوان مصنوعی جهت ایجاد داده های مصنوعی.



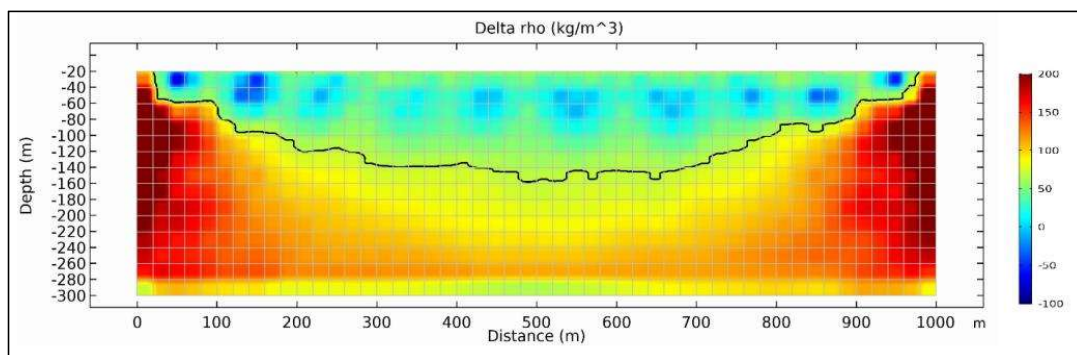
شکل ۳. نتیجه مدل سازی پیشرو گرانی سنگی روی مدل مصنوعی.



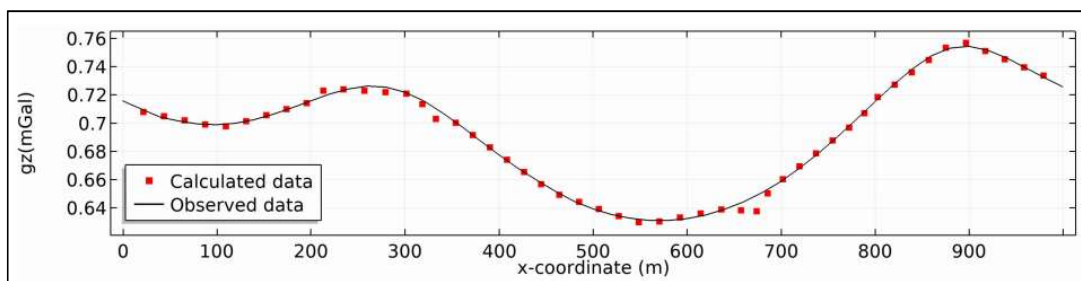
شکل ۴. نمودار سوندآژهای الکتریکی حاصل از مدل سازی پیشرو مقاومت ویژه الکتریکی روی مدل مصنوعی.

شکل ۵ مشاهده می‌شود، خط سیاه رنگ مربوط به تراز اختلاف چگالی ۷۰ کیلوگرم بر متر مکعب را می‌توان برای توپوگرافی سطح سنگ کف در نظر گرفت که علی‌رغم هم‌خوانی زیاد مقادیر محاسبه شده با مقادیر مشاهداتی (شکل ۶)، تغییرات سطح سنگ کف به خوبی در آن نمایان نشده است.

مدل‌سازی وارون با اضافه کردن ۵٪ نویه به داده‌های حاصل از مدل‌سازی پیش رو به عنوان ورودی و استفاده از روش ذکر شده در بخش ۲-۲ اجرا شد. محاسبات وارون در محدوده قرمزرنگ در شکل ۲ اجرا و مقادیر اختلاف چگالی بر حسب کیلوگرم بر متر مکعب در پیکسل‌هایی به ابعاد ۲۰ در ۲۰ متر محاسبه شد (شکل ۵). همان‌طور که در



شکل ۵. نتیجه مدل‌سازی وارون روش گرانی‌سنجدی روی مدل مصنوعی.



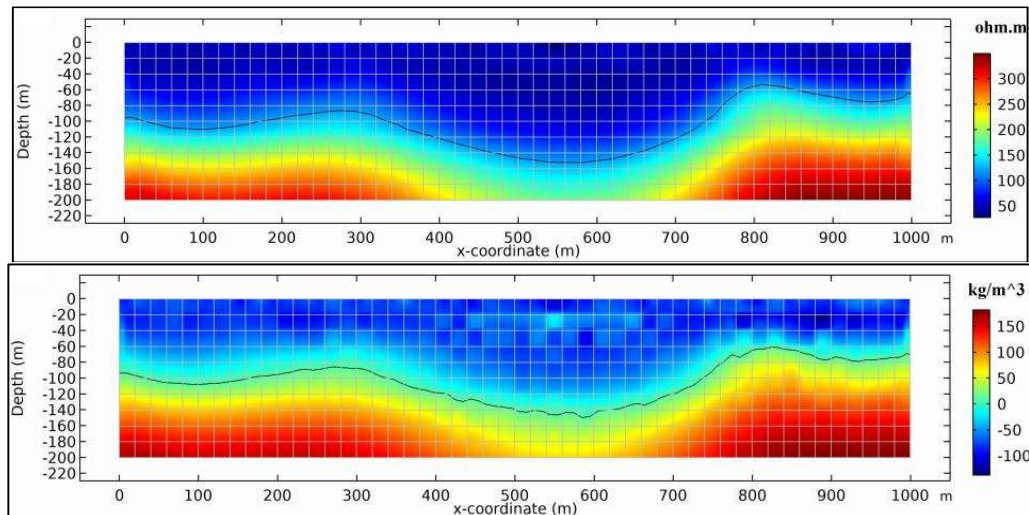
شکل ۶. مقایسه مقادیر محاسبه شده حاصل از وارون‌سازی داده‌های گرانی و مقادیر برداشت شده حاصل از مدل‌سازی پیش رو با مقادیر مشاهداتی.

در مقطع مقاومت ویژه الکترومagnetیکی (تصویر بالا) و خط تراز اختلاف چگالی صفر کیلوگرم بر متر مکعب در مقطع گرانی‌سنجدی (تصویر پایین) است. داده‌های محاسبه شده و مشاهداتی حاصل از مدل‌سازی داده‌های گرانی‌سنجدی که در ۲۷ تکرار و خطای RMS حدود ۲٪ انجام شد، در شکل ۸ مقایسه شده‌اند. با مقایسه شکل‌های ۶ و ۸ می‌توان نتیجه گرفت که در مدل‌سازی جداگانه روش گرانی‌سنجدی، با وجود هم‌خوانی خوب مقادیر محاسبه شده

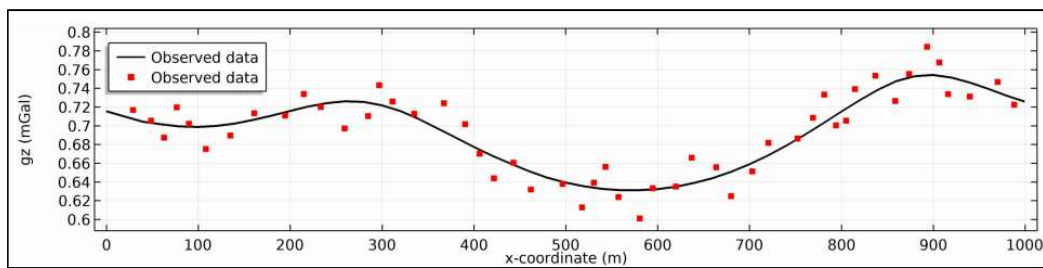
نتیجه تلفیق دو روش گرانی‌سنجدی و مقاومت ویژه الکترومagnetیکی و وارون‌سازی مشترک دو بعدی آنها از لحاظ صحت و تشخیص روند سطح سنگ کف متفاوت است. همان‌طور که در شکل ۷ مشاهده می‌شود، روند سنگ کف به خوبی در مقاطع مقاومت ویژه الکترومagnetیکی و گرانی‌سنجدی حاصل از نتایج مشترک نمایان شده است. خطوط سیاه در این تصویر که روند کلی سطح سنگ کف را نشان می‌دهد، مربوط به خطوط تراز ۱۲۰ اهم متر

۲٪ بین مقادیر مشاهداتی و محاسبه شده (شکل ۸)، روند سنگ کف نشان داده شده در شکل ۷ (پایین) به خوبی نمایان شده است.

با مقادیر ورودی یا همان مقادیر مشاهداتی (شکل ۶)، روند سنگ کف در شکل ۵ به خوبی تشخیص داده نشد و در روش وارون‌سازی مشترک با خطای RMS حدود



شکل ۷. مقاطع مقاومت ویژه الکتریکی (بالا) و گرانی‌سنجدی (پایین) حاصل از مدل‌سازی وارون‌سازی مشترک روی مدل مصنوعی.



شکل ۸ مقایسه مقادیر محاسبه شده و مشاهداتی داده‌های گرانی حاصل از وارون‌سازی مشترک.

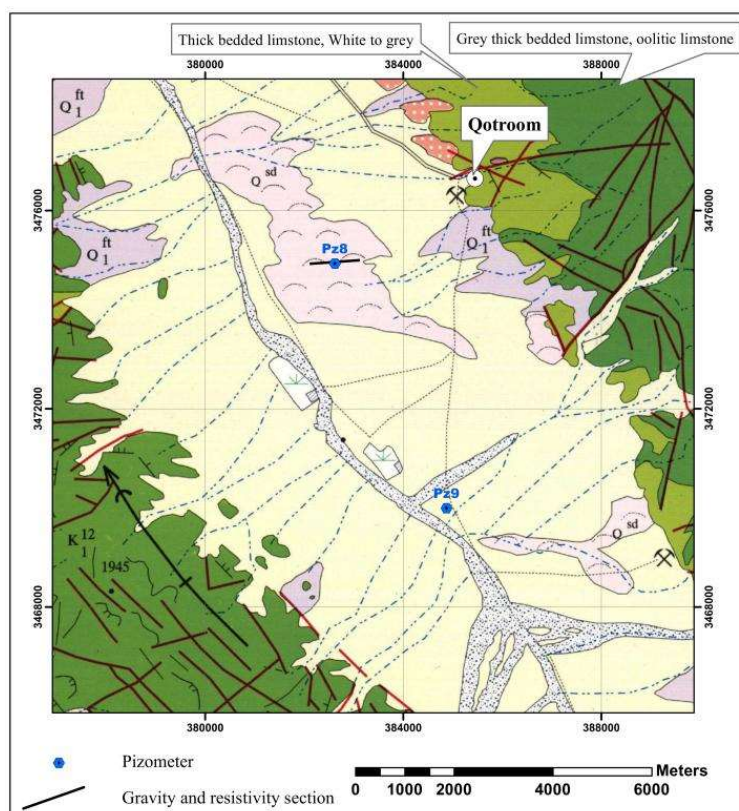
حفاری شده است. با توجه به نمودار حفاری این چاهها، سنگ کف دشت قطروم را واحدهای آهکی ضخیم لایه کرتاسه تشکیل داده است. در کنار چاه پیزومتر شماره ۸ که شرکت آب منطقه‌ای یزد در سال ۱۳۸۲ به صورت ضربه‌ای حفاری کرده است، یک مقطع گرانی‌سنجدی با دستگاه CG5 با دقت بسیار زیاد و در حد هزارم میلی‌گال به طول ۱۰۲۰ متر و تعداد یازده سوندazer الکتریکی به فواصل ۱۰۰ متر برای بررسی سنگ کف و بررسی دقت

۴ مطالعه موردي (دشت قطروم)

دشت قطروم به ترتیب در فاصله حدود ۱۵۰ و ۴۰ کیلومتری جنوب غرب شهرهای یزد و بافق قرار دارد. این دشت که در شمال شرق برگه یک صد هزار سیزده و در بین واحدهای آهکی ضخیم لایه مربوط به دوران کرتاسه محصور شده است، از زیرحوضه‌های دشت بافق و یکی از تغذیه‌کننده‌های اصلی دشت بافق و کویر دره انجیر است. در این دشت تعداد یازده چاه پیزومتر به صورت پراکنده

متر است و پس از نقشه‌برداری ارتفاعی؛ تصحیحات زمانی، ارتفاعی، عرض جغرافیایی و بوگه اعمال و به عنوان ورودی نرم‌افزار کامسول برای مدل‌سازی وارون سنگ کف آماده شد. سوندآژهای الکتریکی نیز به فواصل ۱۰۰ متر با بیشینه خط جریان ۶۰۰ متر و آرایه ونر-شلومبرژر برداشت شدند.

مدل‌سازی مشترک وارون با استفاده از روش‌های گرانی‌سنگی و مقاومت ویژه الکتریکی برداشت شد. شکل ۹ موقعیت این مقطع و چاه پیزومتر شماره ۸ واقع در بخش جنوب شرقی دشت قطروم را نشان می‌دهد. این مقطع به گونه‌ای طراحی و برداشت شد که چاه پیزومتر در مرکز آن قرار بگیرد. فواصل ایستگاه‌های گرانی‌سنگی ۲۰



شکل ۹. موقعیت مقاطع گرانی‌سنگی برداشت شده در کنار چاه پیزومتریک شماره ۸ در نقشه زمین‌شناسی.

۹۷ اطلاعات حفاری چاه پیزومتریک شماره ۸ که در عمق متری به لایه‌های متراکم آهکی برخورد کرده است، سطح تقریبی سنگ کف، تراز منحنی ۱۵۰ کیلوگرم بر متر مکعب فرض شد که با خط ممتد سیاه‌رنگ در این شکل مشخص شده است؛ بنابراین سنگ کف آهکی در این بخش از دشت می‌تواند حدود ۲۵۰ کیلوگرم بر متر مکعب

نتیجه مدل‌سازی وارون داده‌های گرانی با پنج بار تکرار در شکل ۱۰ نشان داده شده است. در این شکل که اختلاف چگالی در قسمت‌های مختلف رسوبات زیرسطحی بر حسب کیلوگرم بر متر مکعب را نشان می‌دهد، اختلاف بیشینه و کمینه چگالی حدود ۴۰۰ کیلوگرم بر متر مکعب برآورده شده است و با توجه به

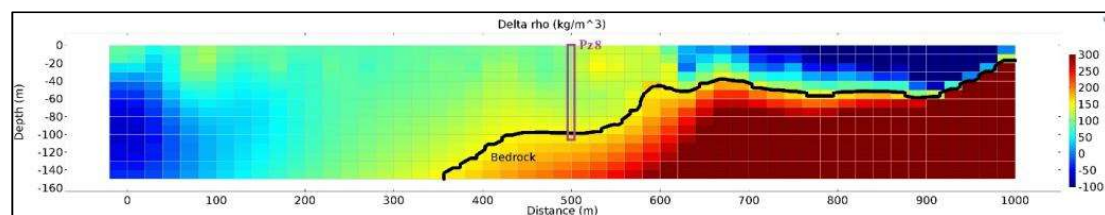
هر قرائط به عنوان ورودی نرم افزار کامسول برای انجام دادن محاسبات وارون استفاده شد. نتیجه این فرایند با تعداد یازده تکرار و خطای RMS برابر ۵/۱ درصد، به صورت مقادیر مقاومت ویژه الکتریکی در پیکسل های ۲۰ در ۲۰ متر در شکل ۱۳ نمایش داده شده است. همان طور که در این شکل مشاهده می شود، مقادیر مقاومت ویژه الکتریکی از حدود ۳۰ اهم- متر مربوط به رسوبات آبرفتی سطحی تا بیشتر از ۱۰۰۰۰ اهم- متر مربوط به سنگ کف متراکم آهکی متغیر است.

برای به دست آوردن دید دقیق تری از سنگ کف محدوده مورد مطالعه، در نرم افزار کامسول از هر دو روش، یعنی از وارون سازی مشترک داده های گرانی سنجی و مقاومت ویژه الکتریکی استفاده شد. در این مدل مقادیر پارامتر های m و n مساوی و برابر ۱/۷ مربوط به رسوبات با سیمان شدگی کم، پارامتر a یا ضریب

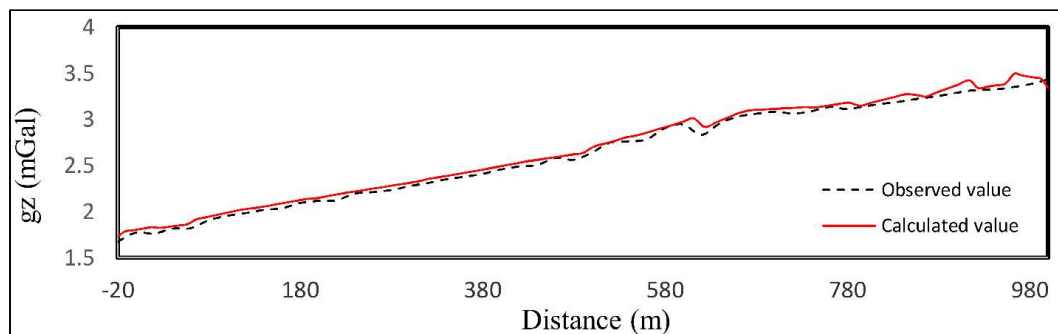
با سایر رسوبات سطحی و آبرفتی اختلاف چگالی داشته باشد.

برای اینکه بتوان نتایج مدل سازی وارون گرانی سنجی را اعتبار سنجی کرد، نتایج داده های برداشت شده (مشاهده ای) با محاسبه شده با یکدیگر برازش شد (شکل ۱۱). در این نمودار، خطوط خطچین سیاه رنگ، داده های مشاهده ای و خطوط ممتذ قرمز رنگ نتایج مدل سازی وارون و محاسبه شده را نشان می دهند که همخوانی خوبی بین آنها برقرار است.

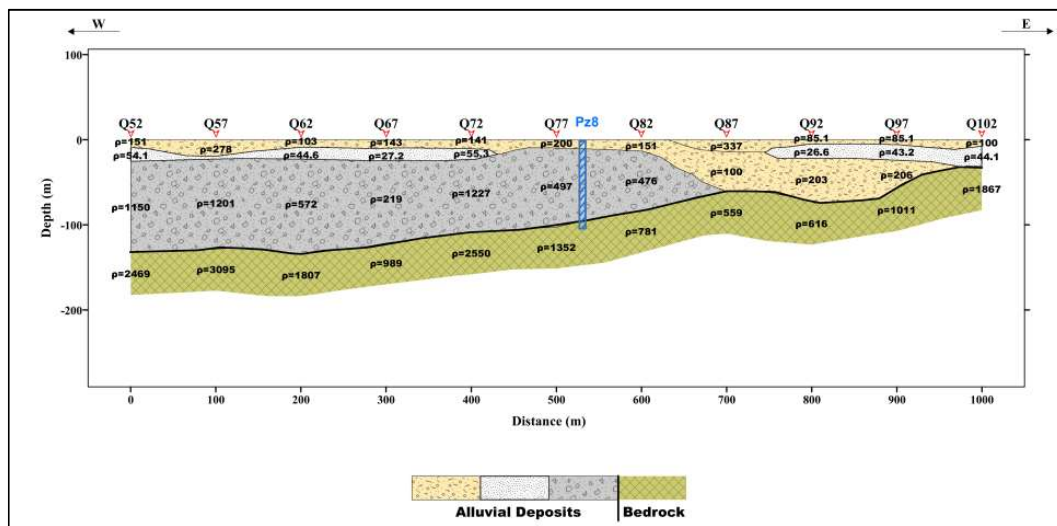
داده های مقاومت ویژه الکتریکی مربوط به یازده سوندایز الکتریکی نیز ابتدا با نرم افزار IPI2، تفسیر یک بعدی شد که نتیجه آن به صورت یک مقطع زمین شناسی در شکل ۱۲ نشان داده شده است. برای وارون سازی و تفسیر دو بعدی داده های مقاومت ویژه الکتریکی، از مقادیر اختلاف پتانسیل و شدت جریان در



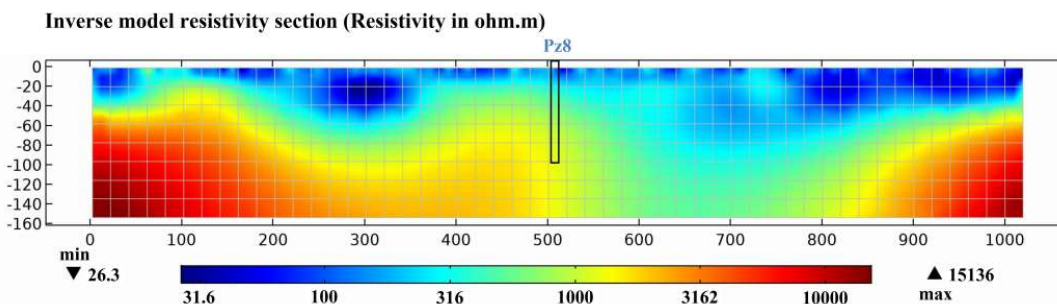
شکل ۱۰. نتایج مدل سازی وارون داده های گرانی سنجی مقطع واقع در کنار چاه پیزو متر شماره ۸.



شکل ۱۱. نتایج اعتبار سنجی حاصل از مدل سازی وارون مقطع واقع در کنار چاه شماره ۸ (خطچین سیاه رنگ، مقادیر مشاهده ای و برداشت شده و خط ممتذ قرمز، مقادیر محاسبه شده را نشان می دهد).



شکل ۱۲. مقطع زمین‌شناسی حاصل از تفسیر یکبعدی سوندابهای الکتریکی.

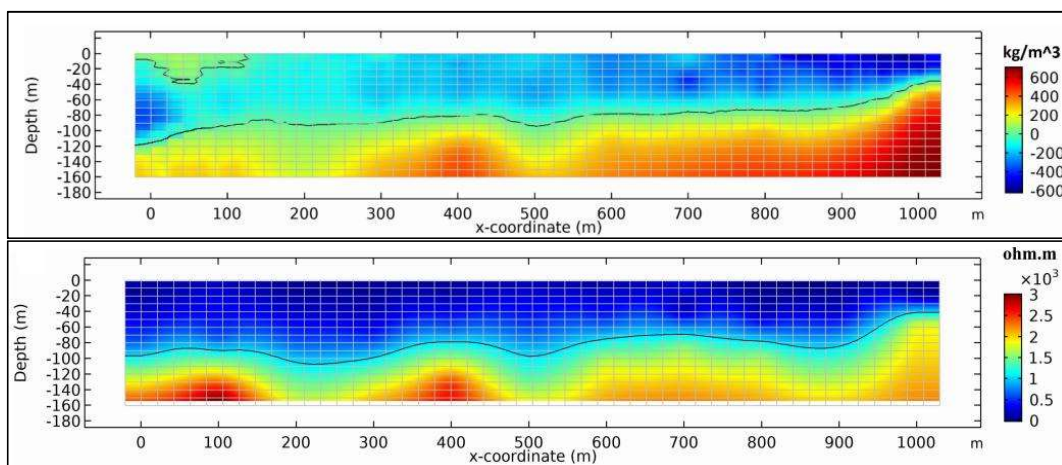


شکل ۱۳. نتایج مدل‌سازی وارون داده‌های مقاومت ویژه الکتریکی مقطع واقع در کنار چاه پیزومتر شماره ۸.

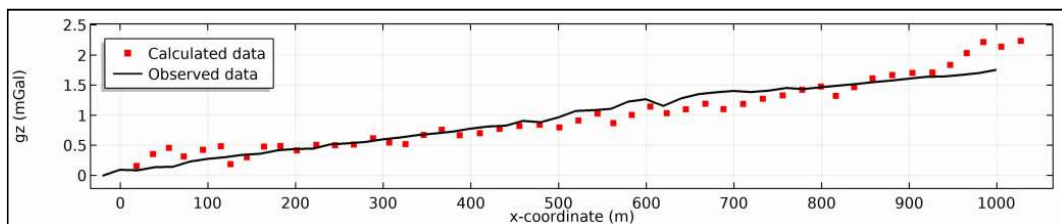
وارون‌سازی مشترک با داده‌های مشاهداتی در شکل ۱۵ مقایسه شدند. در شکل ۱۴ خط تراز مربوط به اختلاف چگالی صفر کیلوگرم بر متر مکعب و خط تراز ۱۰۵۰ اهم-متر به عنوان تراز سطح سنگ کف در نظر گرفته شد.

۵ نتیجه‌گیری
در این پژوهش یک قالب بر پایه دستگاه معادلات مشتقات جزئی برای حل مسائل وارون در نرم‌افزار کامسول ارائه شد. این قالب، با استفاده از فرمول‌بندی تابع کمکی و توانمندی زیاد ضریب شکل دستگاه معادلات مشتقات جزئی، حل معادلات وارون غیرخطی و نامعین را

پیچایچی برای رسوبات آبرفتی سخت‌نشده برابر ۱ (شان، ۲۰۰۴)، چگالی آب ۱۰۰۰ کیلوگرم بر متر مکعب و مقاومت ویژه آن هم ۵۰ اهم-متر در نظر گرفته شد. مقادیر تخلخل را نیز می‌توان هم از رابطه آرجی و کازنی (آرجی، ۱۹۴۲ و کازنی، ۱۹۵۳) و هم از آزمایش‌های پمپاز قبلی به دست آورده که در این پژوهش مقدار آن حدود ۳۷ درصد برآورد شده است. نتیجه وارون‌سازی مشترک در شکل ۱۴ نشان داده شده است. این مدل‌سازی در ۲۳ تکرار اجرا شد. خطای RMS در روش مقاومت ویژه الکتریکی، ۱/۰۲ درصد است. برای صحت نتایج روش گرانی‌سنگی، مقادیر محاسبه شده نهایی از



شکل ۱۴. نتایج مدل‌سازی وارون مشترک گرانی‌سنجدی (بالا) و مقاومت ویژه الکتریکی (پائین).



شکل ۱۵. مقایسه مقادیر محاسبه شده و مشاهداتی روش گرانی‌سنجدی حاصل از وارون‌سازی مشترک.

که یک روش ژئوفیزیکی محدودیت‌هایی داشته باشد، به کارگیری این روش می‌تواند با روشی دیگر پوشش داده شود تا نتایج آن از وضوح بیشتری برخوردار شود. همچنین این روش می‌تواند در سامانه‌های چندگانه ژئوفیزیکی مختلف به صورت همزمان و در سایر روش‌های ژئوفیزیکی مثل قطبش القابی، پتانسیل خودزاء، الکترومغناطیس و ... استفاده شود.

منابع

پاسیار، ع.، انصاری، ع.، ۱۳۹۶، بررسی هدایت هیدرولیکی و ضریب قابلیت انتقال آب با استفاده از مقاومت ویژه الکتریکی و آزمایش پمپاژ در دشت پیرانشهر: مجله پژوهش آب ایران، ۱۱(۴)، ۲۱-۱۳.

بهبود بخشدید. در محاسبه ماتریس حساسیت که بیشترین زمان را در اجرای محاسبات صرف می‌کند، استفاده از توابع کمکی و مقایسه توزیع فضایی داده‌های محاسبه شده و مشاهداتی، نقش مؤثری در کاهش حجم محاسبات و زمان آن دارد. استفاده از این روش و وارون‌سازی مشترک داده‌های گرانی‌سنجدی و مقاومت ویژه الکتریکی در دشت قطروم نشان داد استفاده توأم دو روش در ارزیابی هندسه سنگ کف، می‌تواند نتایج رضایت‌بخش‌تری نسبت به وارون‌سازی جداگانه هریک از روش‌های مورد استفاده داشته باشد. مزیت اجرای این محاسبات در نرم‌افزار کامسول و استفاده از توانمندی‌های مدل‌سازی در این نرم‌افزار شامل دقت بیشتر نتایج، انعطاف‌پذیری زیاد و کاربرد وسیع بودن آن است. هنگامی

- Abdelrahman, E. M., Bayoumi, A. I., Abdelhady, Y. E., Gobash, M. , and EL-Araby, H. M., 1989, Gravity interpretation using correlation factors between successive least-squares residual anomalies: *Geophysics*, **54**, 1614–1621.
- Alvarez, R., 1991, Geophysical determination of buried geological structures and their influence on aquifer characteristics: *Geoexploration*, **27**, 1–24.
- Archie G., 1942, The electrical resistivity log as an aid in determining some reservoir characteristics: *Petroleum Transactions of the American Institute of Mineralogical and Metallurgical Engineers*, **146**, 54–62.
- Bowin, C., Scheer, E., and Smith, W., 1986, Depth estimates from ratios of gravity, geoid and gravity gradient anomalies: *Geophysics*, **51**, 123–136.
- Butler, S. L., and Sinha, G., 2012, Forward modeling of applied geophysics methods using Comsol and comparison with analytical and laboratory analog models: *Computers & Geosciences*, **42**, 168–176.
- Cardiff, M., and Kitanidis, P. K., 2008, Efficient solution of nonlinear, underdetermined inverse problems with a generalized PDE model: *Computers & Geosciences*, **34**, 1480–1491.
- Elawadi, E., Salem, A., and Ushijima, K., 2001, Detection of cavities from gravity data using a neural network: *Exploration Geophysics*, **32**, 75–79.
- Grant, F. S., and West, G. F., 1965, Interpretation Theory in Applied Geophysics: McGraw-Hill, New York, 584 pp.
- Gupta, O. P., 1983, A least-squares approach to depth determination from gravity data: *Geophysics*, **48**, 360–375.
- Hartmann, R. R., Teskey, D., and Friedberg, I., 1971, A system for rapid digital aeromagnetic interpretation: *Geophysics*, **36**, 891–918.
- Jackson, J. D., 1998, Classical Electrodynamics: Wiley, New York.
- Kemna, A., 2000, Tomographic Inversion of Complex Resistivity: Theory and Application: Ph.D. Thesis, Bochum Ruhr-University, Germany.
- Kilty, T. K., 1983, Werner deconvolution of profile potential field data: *Geophysics*, **48**, 234–237.
- Kitanidis, P. K., 1995, Quasi-linear geostatistical theory for inverting: *Water Resources Research*, **31**(10), 2411–2419.
- Kozeny, J., 1953, Hydraulics: Springer, Vienna, 574 p.
- Lines, L. R., and Treitel, S., 1984, A review of least-squares inversion and its application to geophysical problems: *Geophysical Prospecting*, **32**, 159–186.
- Mari'n-Lechado, C., Galindo-Zaldivar, J., Rodrí'guez-Ferna'ndez, L. R., and Pedrera, A., 2006, Mountain front development by folding and crustal thickening in the internal zone of the Betic Cordillera-Alboran Sea boundary: Pure and Applied Geophysics, **164**, 1–21.
- McCulloh, T. H., 1967, Mass properties of sedimentary rocks and gravimetric effects of petroleum and natural gas reservoir: USGS Professional Paper 528-A, 50 pp.
- Mohan, N. L., Anandababu, L., and Roa, S., 1986, Gravity interpretation using the Melin transform: *Geophysics*, **51**, 114–122.
- Nettleton, L. L., 1962, Gravity and magnetics for geologists and seismologists: AAPG, **46**, 1815–1838.
- Nettleton, L. L., 1976, Gravity and Magnetics in Oil Prospecting:

- McGraw-Hill Book Co.
- Odegard, M. E., and Berg, J. W., 1965, Gravity interpretation using the Fourier integral: *Geophysics*, **30**, 424–438.
- Salem, A., Elawadib, E., and Ushijima, K., 2003, Depth determination from residual gravity anomaly data using a simple formula: *Computers & Geosciences*, **29**, 801–804.
- Santos, F. A. M., Sultan, S. A., Represas, P., and El Sorady, A. L., 2006, Joint inversion of gravity and geoelectrical data for groundwater and structural investigation: application to the northwestern part of Sinai, Egypt: *Geophysical Journal International*, **165**, 705–718.
- Schön, J. H., 2004, Physical Properties of Rocks: Elsevier, Amsterdam, 512 p.
- Sharma, B., and Geldart, L. P., 1968, Analysis of gravity anomalies of two-dimensional faults using Fourier transforms: *Geophysical Prospecting*, **16**, 77–93.
- Shaw, R. K., and Agarwal, B. N. P., 1990, The application of Walsh transforms to interpret gravity anomalies due to some simple geometrically shaped causative sources: a feasibility study: *Geophysics*, **55**, 843–850.
- Telford, W. M., Geldart, L. P., and Sheriff, R. E., 1990, Applied Geophysics, 2nd Ed.: Cambridge University Press, Cambridge.
- Thompson, D. T., 1982, EULDPHea new technique for making computer-assisted depth estimates from magnetic data: *Geophysics*, **47**, 31–37.

Gravity–Geoelectric joint inversion to recognize the bedrock structure of aquifers (case study: part of Qotrum plain in Iran)

Abdolhamid Ansari ^{1*}, Ali Pasyar ² and Ahmad Ghorbani ³

¹ Associate Professor, Faculty of Mining and Metallurgical Engineering, Yazd University, Yazd, Iran

² Ph.D student, Faculty of Mining and Metallurgical Engineering, Yazd University, Yazd, Iran

³ Associate Professor, Faculty of Mining and Metallurgical Engineering, Yazd University, Yazd, Iran

(Received: 09 April 2020, Accepted: 23 December 2020)

Summary

In water resources management, correct identification of bedrock characteristics, such as type, depth and structure is useful and various geophysical methods are used for this purpose. In geophysical and subsurface investigations, solving inverse problems using physics of the problem in partial differential equation (PDE) system is very important. Inverse modeling is one of the useful solutions which creates a logical model between observed and measured values. The limitations and ambiguity of individual techniques can be significantly reduced by adopting joint inversion schemes. Using inversion approaches which combine two or more geophysical methods, allows substantial improvements in modeling processes. The joint inversion of different electromagnetic and resistivity data sets in hydrogeology, structural geology and mining has been used in some studies but the gravity method is less used in hydrogeological investigations. One example of using gravity method in previous studies is an algorithm for joint inversion of gravity and resistivity data, where the interfaces corresponding to changes in the bulk density were interpreted as interfaces of porosity and water content changes, i.e. interfaces of electrical resistivity changes.

In this paper, we present a framework for joint inversion of gravity and geoelectric data solving under-determined inverse problems. It can be used in a wide range of physical systems governed by PDEs. The integrated approach is based on the connection between density and resistivity of a sedimentary sequence through the porosity. Also, we present a general adjoint state formulation which may be used in this framework. It increases the calculation speed of sensitivity matrices in a variety of commonly encountered under-determined problems. There are two steps in this research. First, 2D joint inversion of gravity and geoelectric data is run and validated in COMSOL multi-physics software using one synthetic model and synthetic data in a forward modeling process. Afterwards, using real gravity and geoelectric data surveyed along a cross-section in part of the Qotrum plain in the SE Yazd, the lateral structure of bedrock is estimated. Because Qotrum basin is already well surveyed, it offers opportunities for evaluation of accuracy and reliability in joint inversion approaches. Fifty-one gravity stations and eleven vertical electrical soundings were carried out across the central part of this basin to apply the proposed joint inversion. The results indicated that gravity–geoelectric joint inversion is more accurate than the individual interpretation of each of these methods and significantly improves the solution by decreasing the ambiguity of models. Furthermore, this method, while high in computational speed, can be used in modeling of a wide range of geophysical, hydrogeological and physical systems governed by the partial differential equation laws.

Keywords: Joint inversion, electrical resistivity, gravity, Comsol, bedrock, Qotrum

*Corresponding author:

h.ansari@yazd.ac.ir